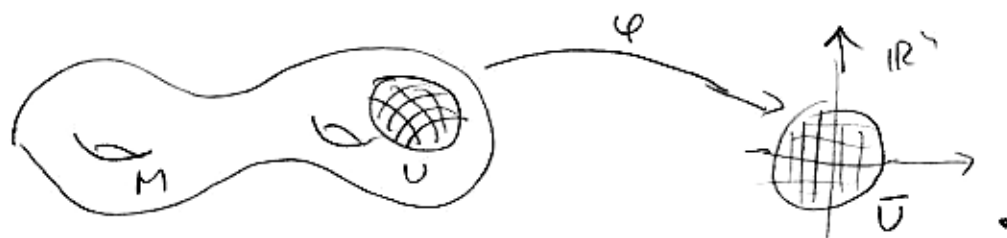


JESZCZE KILKA UWAG:

(10)

- (1) W dalszej części rozważń będziemy nieco uoszczędzać mapowe otoczenie UCM z obwem przez mapę angli z $\bar{U} = \varphi(U) \subset \mathbb{R}^n$.

Może o tym myśleć, że przenosimy się do wypukłych $(x_1, \dots, x_n) \in \bar{U}$ przez φ^{-1} na UCM



Oznacza to fakt, że $\varphi(p) = (x_1, \dots, x_n)$ będziemy mówić, że w mapie $p = (x_1, \dots, x_n)$.

- (2) Ze powodu transformacji współrzędnych zmieniająca się mapa $p = (0, \dots, 0)$ w mapie
czyli mówiąc z drugiej strony (U, φ) jest reprezentacją p .

- (3) Często będziemy przekształcać do mniejszych zbiorów mapowych, ze mapą biorąc odwzorowanie określone.

~~Będziemy wtedy mówić~~ (jest to mapa zgadzona z ostatekiem?).

Będziemy wtedy mówić, że "przyjmuje" się mapę (U, φ) wokół p dla tego samego mapy U tak aby jakaś akurat potrzeba [zwiększenie mapy].

(np. jest potrzebny z pewnymi zbiorami dodatkowe FCM nie zawierające p).

Różniczkowalność odwzorowań Riemannowskich

1 2010

Skorygowane
Skory

M, N gładkie rozmaitości

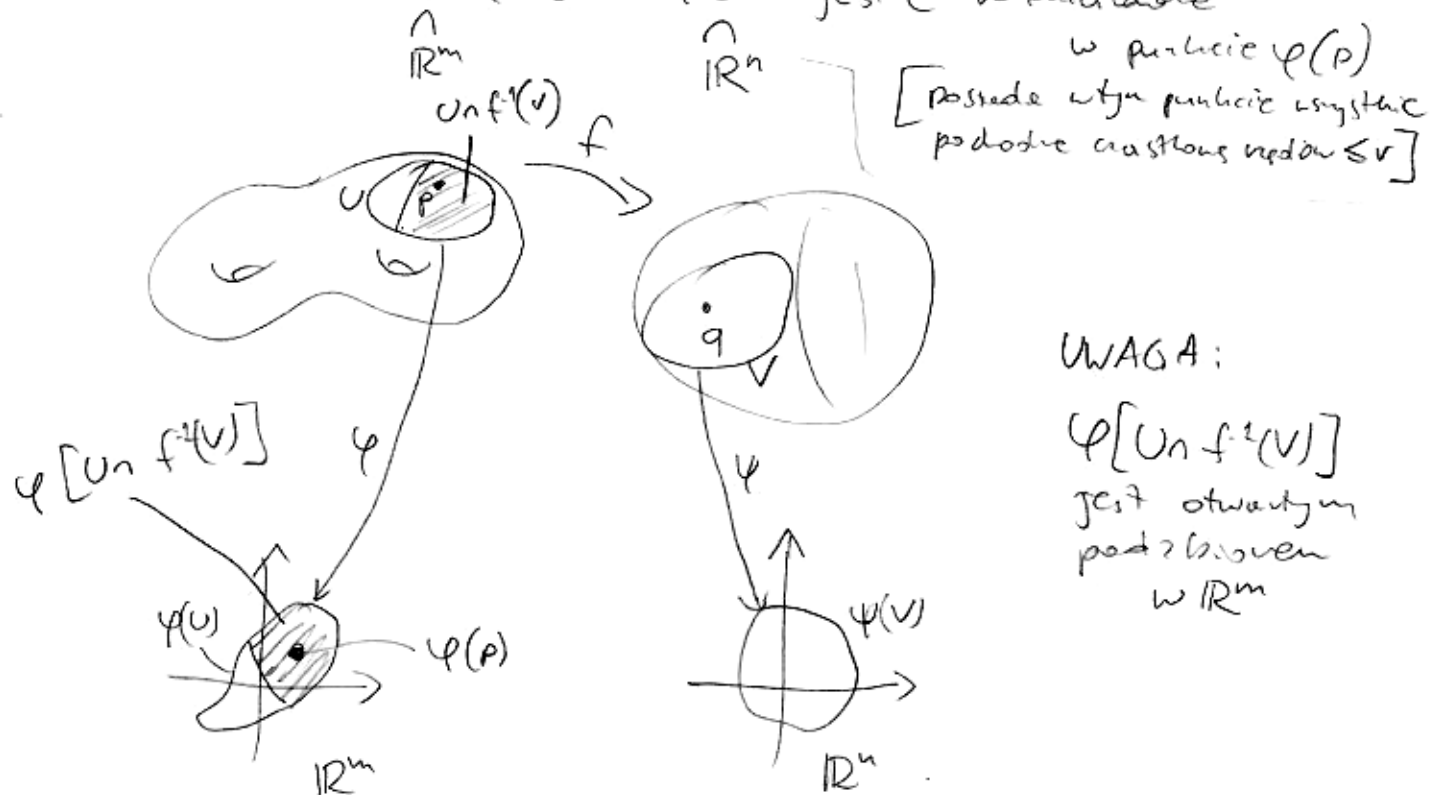
$f: M \rightarrow N$ ciągłe odwzor., $p \in M, f(p) = q \in N$



DEF.(1) f jest C^r -względna w punkcie p (dla $r \in \mathbb{N} \cup \{\infty\}$) jeśli

dla dowolnych map (U, φ) wokół p , (V, ψ) wokół q złożenie

$\psi \circ f \circ \varphi^{-1}: \varphi[U \cap f^{-1}(V)] \rightarrow \psi(V)$ jest C^r -względne



UWAGA:

$\psi[U \cap f^{-1}(V)]$
jest otwartym
podzbiorzem
 $w \mathbb{R}^n$

DEF. (2) f jest C^r na otoczeniu p , jeśli $(\psi \circ f \circ \varphi^{-1})$ jest C^r na otoczeniu $\varphi(p)$ i jest ciągłe.

Ponadto podane warstwy nadrędu $\leq r$ nie powinny
otoczenia $\varphi(p)$ i są one ciągłe.

TERMINOLOGIA: $\hat{f} = \psi \circ f \circ \varphi^{-1}$ nazywamy wyrażeniem f w miejscach $(U, \varphi), (V, \psi)$, lub wyrażeniem f w lokali φ współrzędnych zadanego przez te mapy.

FAKT 1. Jeśli f wyjazdne w miejscu $(U, \varphi)(V, \psi)$

jest C^r -wzmacniane w punkcie $\varphi(p)$, to wyjazdne

w innych miejscach $(U', \varphi')(V', \psi')$ mimoż p, q [gdyż to zgodnie z popr.]

jest C^r -wzmacniane w punkcie $\varphi'(p)$. Zatem C^r -wzmacnialność funkcji f w punkcie $p \in M$ możemy sprawdzić dla jedynej pary miejsc mimoż p i q .

FAKT 1'. To samo jest prawda, dla C^r -wzmacnionej liczączej
we otoczeniach punktów $\varphi(p), \varphi'(p), p$ odpowiednio.

Dowód: Niech $\hat{f} = \varphi f \varphi^{-1}$, $\hat{\alpha} = \psi' \hat{f} \psi^{-1}$

Niech $\varphi(\varphi')^{-1}$ oraz $\psi' \psi^{-1}$ będą odwzorowaniem przejścia
 α β

(są to difeomorfizmy gladkie pomiędzy odp. otoczeniami podzbiorów
 \mathbb{R}^m oraz \mathbb{R}^n , odpowiednio)

Zademonstrować:

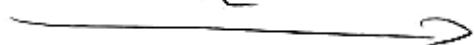
$$\hat{f} = \beta \circ \hat{f} \circ \alpha \quad [\text{bo } \beta \hat{f} \alpha = \psi' \varphi' \varphi f \varphi^{-1} \varphi(\varphi')^{-1} = \psi' f (\varphi')^{-1} = \hat{f}]$$

gdzie • obie strony są określone na pełnym otoczeniu podzb. w \mathbb{R}^m
 zamienionego punktu $\varphi'(p)$, zei równość zachodzi w ich
 przebiegu
• $\alpha(\varphi'(p)) = \varphi(p)$ [\approx def. α]

Zatem, jeśli \hat{f} jest C^r w punkcie $\varphi(p)$ to \hat{f} jest C^r w punkcie

Podobnie, jeśli \hat{f} jest C^r we otoczeniu $\varphi(p)$, to \hat{f} jest C^r w punkcie $\varphi'(p)$. \square

VERTE



DEF. $f: M \rightarrow N$ jest C^k -wzmacniająca jeśli jest
 C^k -wzmacniająca na otoczeniu dowolnego $p \in M$.

UWAGI:

- ① $f: M \rightarrow N$ jest C^k -wzmacniająca \Leftrightarrow dla dowolnych
nep (U, φ) w M oraz (V, ψ) w N wyrażenie $\psi f \circ \varphi^{-1}$
funkcji f w tych niepoch jest C^k -wzmacniająca, na
cetym żądane, że kiedyż jest określone.
- ② Dziedzina Fakturowi 1¹, C^k -wzmacniająca f jest
zawierająca dla par niep z domyślnymi wybranymi otoczeniami
na M i N, w sensie spełniać warunek jak w ①.

3

FAK 2. Złożenie gładkich odwzorowań punktowe
normalizacji jest gładkie.

Dowód: Niech $f: M \rightarrow N$, $g: N \rightarrow P$ gładkie.

Niech $p \in M$, $q = f(p) \in N$, $s = g(q) = g(f(p)) \in P$.

Niech (U, φ) (V, ψ) (W, ξ) mapy moźliwe p, q, s .

Wtedy, iż $\varphi f \varphi^{-1}$ oraz $\xi g \psi^{-1}$ są gładkie na $\varphi(p), \psi(q), \xi(s)$.

Pytamy, czy $\xi \circ (g \circ f) \psi^{-1}$ jest gładkie, wówczas na otoczeniu $\varphi(p)$.
istnieje otoczenie $\varphi(p)$ na którym działa φ^{-1}

Ale $\xi(g \circ f) \psi^{-1} = (\xi g \psi^{-1})(\varphi f \varphi^{-1})$ jest gładkie. \square

Stąd $g \circ f$ jest gładkie na otoczeniu kropki punktu $p \in M$, (tzn. gładkie okolicę)
więc jest gładkie. \square

Nie tylko rozumieć, ale też pozwalać na pokazywanie
że dane działanie dla odwzorowania normalizacji

Def. Rzędem $f: M \rightarrow N$ C^1 -rozumiejskości $\forall p \in M$ nazywamy
rzad macierzy pierwotnych ostatecznych odwzorowań $\varphi f \varphi^{-1}$ w $\varphi(p)$.

FAKT 3. Ponownie kropka nie zależy od wybranego punktu $p \in f(p)$.
[ew]

Wniosek. Zawarcie się pierwotnej podstawy ($\text{rod} = 0$) jest dobrym okresem projektu dla odwzorowania normalizacji gładkich.

Def. Gładkie odwzorowanie $f: M \rightarrow N$ jest diffeonomiczne

jeśli jest krojone podobne, z tą odwzorowaniem odwrotne $f^{-1}: N \rightarrow M$
jest też gładkie. \square

Rzeczywiste M, N są diffeonomiczne jeśli istnieje difeomeofizm
łączący je.

UWAGA. Rzeczywiste difeomeofizmy są nienormalizowane gładkie
normalizacji.

dyfeo - jest homeo w topologii, jest izomorf w algebrze

VERTE

UWAGA.

Pojęcie odwzorowań gładkich, wzmocnionej wartości w punkcie, difeomorfizmu, regu odwzorowania w punkcie, i ich własności, bez zmian przenoszą się na rozmaitości gładkie z biegierem.

DŁT:

- porównujemy nad macierz jacobiana $\hat{f} = \psi f \varphi^{-1}$ oraz $\hat{\hat{f}} = \psi^1 f(\varphi^1)^{-1}$; zauważ pomiędzy nimi to $\hat{\hat{f}} = \beta \hat{f} \alpha$, gdzie α i β to odpowiednie odwzorowanie przejścia
- macierz jacobiana złożenia to iloczyn macierzy jacobiana funkcji składowych
- macierz jacobiana odwzorowań przejścia jest nieosobliwa
- domnożenie macierzy, z dowolnej strony, przez macierz nieosobliwą nie zmienia regu!



DYCHOTOMIA C⁰ i C¹, K>0 - DYZRESJA

- Z kątami miedzykątami ołożen C¹-wzorcowi może wybić
alesz złożony z dwóch C⁰-zgody. Zatem, kąt C¹-wzorcowi
ponadzie C¹-zgodę struktury C⁰-wzorcowej. [Whitney ~1940]
- Istnieje C⁰-wzorcowi (wzorcowi topologiczne) nie dopuszczające dodatkowej
zgody struktury głębszej. [Quinn '82, Friedmann '82]

DYARESJA o sfyfco.

3 dod

① ~~Pozycja pośrednia~~ C¹ versus C[∞]

Poprawka: kiedy C¹-wymiarówka pomiędzy C¹, posiadająca strukturę C[∞]

Tenek: kiedy C¹ sfyfco parzysty (\Rightarrow jeśli dwie C[∞]-wymiarówki są C¹ sfyfco niewne, to są też C[∞]-sfyfco niewne)

Skad: klaszefileje $\overset{C^1 \text{ norm}}{\text{redakt.}}$ do C¹-sfyfco jest taka sama jak klasyfikacja C[∞]-norm \Rightarrow działa do C[∞]-sfyfco.

② C⁰ versus C[∞]

Poprawka: istnieje C⁰-wymiarówka nie posiadająca relacji zgodnej C[∞]-struktury

Tenek: istnieje C⁰-wymiarówka posiadająca wiele różnych zgodnych
- jednak nie sfyfco niewnych C[∞]-struktur

- [Milnor '56] - sfay S^n , $n \geq 7$, skojarzenie niewne (> 1)
takich struktur

- [Freedman '82, Donaldson '83] - \mathbb{R}^4 , nieprzeliczalna wiele takich struktur

- ~~sfay~~ W wymiarach ≤ 3 każda para dawnych C⁰ & C[∞] jest takie jak para dawnych C¹ & C[∞] w punkcie ①
(np. klaszefileje $\overset{3-\text{wyn}}{\text{norm. top.}}$ \Rightarrow działa do homeo
jest taka sama jak klasyfikacja 3-wym. norm. gładkich
 \Rightarrow obiektowość do sfyfco.)

• Otocenie kątowe

(A)

M - głębokość w-jm. normatyw, B - komponent bregu ∂M

TWIERDZENIE.

Istnieje difeomorfizm ułożenie (ang: difeomorfizm na obrys)

$K: B \times [0,1] \rightarrow M$, na obrzeżu otocenia U komponent B w M ,

takie iż $K(x,0) = x$ dla $x \in B$.

- dawd -> kilka wariantów,
- technika pokazów poliwektorowych



• M_1, B_1 oraz M_2, B_2 j.w.

$f: B_1 \rightarrow B_2$ difeomorfizm

$$M_1 \cup_f M_2 = M_1 \sqcup M_2 / \sim \quad \text{gdzie } \begin{matrix} x \sim f(x) \\ \uparrow \qquad \uparrow \\ B_1 \qquad B_2 \end{matrix}$$

zaj porozkłade klongi, aby nie miały 1. elementu

• strukture głębiowe na $M_1 \cup_f M_2$

$K_i: B_i \times [0,1] \rightarrow M_i$ - otoczenie kątowe

$M_1 \cup_f M_2$



zbiory U_i

ułożeniem

2 produkty: $B_i \times [0,1]$

via K_i

3 rodzaje map

(1) dla dalszej mapy (U_1, ψ) na M_1 normatyw jej obcięcie do $U \cap B_1$

(2) — — — M_2 — — — $U \cap B_2$

(3) dla dalszej mapy (W, ψ) na B_1 , $\psi: W \rightarrow \bar{W} \subset \mathbb{R}^{n-1}$,

normatyw otoczy zbiór $W \times [0,1] \cup_{f|W} f(W) \times [0,1] = \tilde{W} \subset M_1 \cup_f M_2$

VERTE

ośrodek $\tilde{\Psi} : \tilde{W} \rightarrow \tilde{W} \subset \mathbb{R}^n$

$$\tilde{\Psi}(x, t) = \begin{cases} (\psi(x), -t) & \text{dla } (x, t) \in U_1 \\ (\psi f'(x), t) & \text{dla } (x, t) \in U_2 \end{cases}$$

- $\tilde{\Psi}(x, 0) = \tilde{\Psi}(f(x), 0)$ dla $x \in W$

nicz $\tilde{\Psi}$ dobrze określone w punkcie zleganie.

- $\tilde{W} = \overline{W} \times (-1, 1) \subset \mathbb{R}^n$,

$\tilde{\Psi} : \tilde{W} \rightarrow \tilde{W}$ jest homeomorfizm

- pomijając sprawdzenie gęstości i gatunki map (1) (2) (3).

UWAGA! $M_1 \cup_f M_2$ jako sumatoria gatunku mogłyby się różnić nie tylko od f , ale też w zależności od wybranej kategorii.

Ki konkretnie moga być B_i .

Wtedy podst. $M_1 \cup_f M_2 \rightarrow$ daje do dyskusji

nie zależy od wybranej K_i , bo

FAKTY (1) [EATWY, ĆW] Jeśli K_1, K_1' podobnie położone w M_1 , tzn.

$$\exists h : M_1 \rightarrow M_1 \text{ difeo. tzn. } h|_{B_1 \times [0, \frac{1}{2}]} = h \circ K_1|_{B_1 \times [0, \frac{1}{2}]}$$

to $M_1 \cup_{f, K_1, K_2} M_2 \cong M_1 \cup_{f, K_1', K_2} M_2$

[i analogicznie dla K_2, K_2'].

(2) Kiedy 2 otoowane kategorie kierunki B_1 bęgnące ∂M_1 są podobnie położone [TRUDNE].

Ponadto

FAKTY 3. [] Ustalenie otoowania kierunków K_1, K_2 .

Jeśli $f_0, f_1 : B_1 \rightarrow B_2$ napisuje difeomorfizm $\left\{ \begin{array}{l} \text{czyli t.j. jest gęsty i gładki} \\ f_1 : [0, 1] \times B_1 \rightarrow B_2, f_1 \text{ difeo,} \\ f_0 = f_0, f_1 = f_1 \end{array} \right.$

to $M_1 \cup_{f_0, K_1, K_2} M_2 \cong M_1 \cup_{f_1, K_1, K_2} M_2$ [Także - moga mieć różny ĆW]

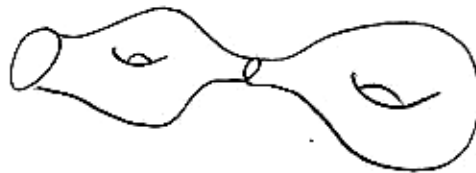
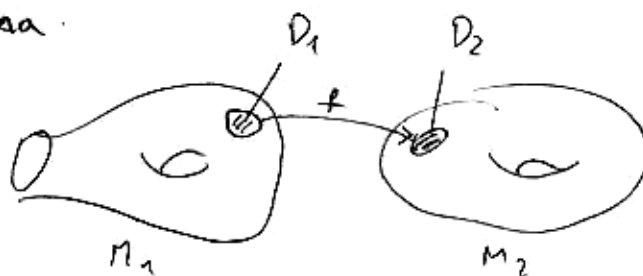
Suma spójne rozmitosci M_1, M_2 - rozmitosci wyjazdu w D_1, D_2, D_i, CM_i - lokale n-wymore zanote w otoczeniu reprezent $M_i \setminus \text{int } D_i$ - rozmitosci, $B_i = \partial D_i$ - kropki bez

$$f: B_1 \rightarrow B_2 \text{ difeom.funk} \quad S^{n-1}$$

$\begin{matrix} \text{IIIS} \\ S^{n-1} \end{matrix} \qquad \begin{matrix} \text{IIIS} \\ S^{n-1} \end{matrix}$

$$(M_1 \setminus \text{int } D_1) \cup_f (M_2 \setminus \text{int } D_2) = M_1 \# M_2$$

- suma spójna



UWAGA! istnieje daktatnie 2 klasy izotopii difeomorfizmu

$$f: S^{n-1} \rightarrow S^{n-1}$$

(zachowujace ~~wys~~ i zmieniajace ~~wys~~ orientacje)

Suma spójnej 2 nadaj
Jeli M_i jest spójna, to

(1) ~~Rozmitosci~~ $M_i \setminus \text{int}(D_i)$, \Rightarrow dakt. \rightarrow difeo, nie
zalezy od typu dysku D_i

(3) WNIOSK. Suma spójnej 2 mitosci bedzie
suma spójne $M_1 \# M_2$.

W przypadku rozmitosci zorientowanych jedna z nich jest klasycznie preferowana. verté

KLASYFIKACJA ZAMKNIĘTYCH (angli zwolnione, bez brzegu) C

POLIMERZOWI (angli 2-wym. rozmaitości) SPÓDNICZKI.

Skrzynie: 1834 / ^{sfera tons} / (P)

Serie 1 (orientowalne): $S^2, T^2, T^2 \# T^2, T^2 \# T^2 \# T^2, \dots$

Serie 2 (nieorientowalne) $\mathbb{R}P^2 = S^2 / \mathbb{Z}_2, \mathbb{R}P^2 \# \mathbb{R}P^2, \dots$
↑ płaszczyzna rzutowa

- powierzchnie z parzystej listy są parzyste: nieorientowalne
- każda z nich jest difeomorficzna z jedną z listy.

3-Rozmaitości - chirurgia Dehn, węzły
- rozkłady Heegaarda

} WARTO POBIERONIE
RZUCIĆ OKIEM DO
JAKIEGOŚ ŹRÓDŁA
np. W INTERNECIE

po angielsku - Dehn surgeries
Heegaard splittings